

# 在 CT-6B 托卡马克上用氯化氢激光测量电子密度

李文莱 徐友刚

(中国科学院物理研究所)

郭其良 童兴德

(中国科学院合肥等离子体研究所)

用远红外激光测量等离子体电子密度的原理, 曾有过报道。当一束远红外激光通过等离子体时, 因为等离子体的折射率  $n < 1$ , 即在等离子体中电磁波传播的相速度大于光速  $c$ , 所以远红外激光通过等离子体之后, 其相位比通过同样的真空路程有一个移动。设这个相位移动为  $\Delta\Phi$ , 则有

$$\Delta\Phi = \frac{2\pi e^2}{c\omega m_e} \int_L n_e(x) dx, \quad (1)$$

式中  $c$  为光速,  $e$  为电子电荷,  $m_e$  为电子质量,  $\omega$  为远红外激光频率,  $L$  为光束通过等离子体的距离,  $n_e(x)$  为  $x$  处的电子密度。(1) 式要求  $\omega \gg \omega_p$ , 其中  $\omega_p = \left(\frac{4\pi e^2 n_e}{m_e}\right)^{1/2}$ , 称为电子的本征频率。

对于氯化氢(HCN)激光, 波长  $\lambda = 337 \mu\text{m}$ , 其相位移动为  $2\pi$  弧度时对应的等离子体电子线密度为  $6.62 \times 10^{14} \text{ cm}^{-2}$ 。

我们在 CT-6B 托卡马克上用 HCN 激光来测量等离子体的电子线密度。由于只做了单道测量, 所以只能测  $\int_L n_e(x) dx$  的值, 即只能测量等离子体的平均电子密度。

HCN 激光器长 2.5m, 内径 5cm, 工作波长  $337 \mu\text{m}$ , 输出功率约为 20mW。采用铜网作输出耦合窗口, 输出的主模是  $\text{EH}_{11}$  模, 其电场矢量是线偏振的。因考虑到光的电场偏振方向要平行于托卡马克的环磁场, 所以激光器的输出光束的偏振方向被固定在水平方向上。实验中使用 Mach-Zehnder 型干涉仪(见图 1)。

接收到的信号处理过程见图 2。

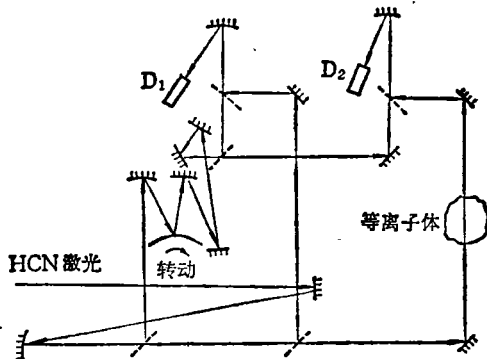


图 1 干涉仪光路图

$D_1, D_2$  是硫酸三甘肽(TGS)热释电接收器,  $D_1$  为参考路信号接收器,  $D_2$  为探测路信号接收器

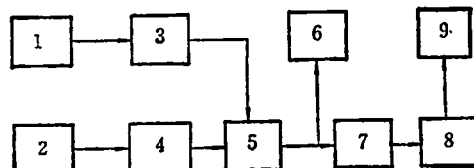


图 2 干涉信号接收部分方框图

1,2. 接收器及前置放大器; 3. 窄带通滤波器; 4. 宽带通滤波器; 5. 相位计; 6. 记忆示波器; 7. A/D 转换器; 8. 微处理机; 9. 绘图仪

$D_1$  接收到的信号通过前置放大器 1, 窄带通滤波器 3, 然后进入相位计 5。

$D_2$  接收到的信号通过前置放大器 2, 宽带通滤波器 4, 然后也进入相位计 5。相位计 5 给出这两个信号的相位差, 这个相位差信号一方面由记忆示波器显示, 一方面进入 A/D 转换器, 接微处理机和绘图仪, 从而得到等离子体电子线密度的波形图。

对于参考路信号, 其频率是不变的, 所以只

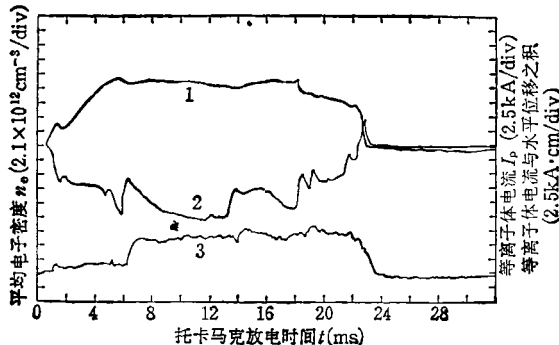


图 3 CT-6B 中等离子体电子线密度波形  
1. 等离子体电流波形；2. 水平位移与等离子体电流之积的波形；3. 远红外激光测量的等离子体电子线密度波形

通过窄带通滤波器就可以了。

CT-6B 托卡马克的典型参数为：大半径 45cm，小半径 10cm，环向磁场 13kG。

我们用上述的远红外干涉系统对 CT-6B 托卡马克的等离子体的电子密度进行了测量，其结果如图 3 所示。

由图 3 可以看出，当等离子体的水平位置由外向中心移动时，等离子体的电子线密度增加。目前的测量可以精确到 1/50 个干涉条纹，相当于 CT-6B 的等离子体半径，可以测出的最小电子平均密度为  $6.6 \times 10^{11} \text{ cm}^{-3}$ 。

总之，远红外激光测量等离子体的电子密度比较直观，得出的结果与其他参数的对应关系符合很好，这说明该探测系统是可靠的。

这台干涉系统可以在八小时之内稳定运行，而不需进行调整。

此工作得到中国科学院物理研究所 102 组的大力支持，同时得到谢安云、乔甫皇、马明义的有益帮助，特别是得到法国 D. Veron 博士的指导，在此表示感谢。

(上接第 713 页)

- [3] A. A. Laogun et al., *Phys. Med. Biol.*, **28-4** (1983), 341.
- [4] N. R. V. Nightingale et al., *Phys. Med. Biol.*, **28-8** (1983), 897.
- [5] C. Gabrid et al., *Phys. Med. Biol.*, **28-1** (1983), 43.
- [6] R. D. Stog et al., *Phys. Med. Biol.*, **27-4** (1982),

- 501.
- [7] A. Kraszewski, *Third Int. conf. on Dielectric Materials, Measurements and Applications*, The Institute of Electrical Engineers, London and New York, (1979), 174.
- [8] B. Singh et al., *Med. Biol. Eng. Comput.*, **17-1** (1979), 45.

(上接第 718 页)

- waii.
- [22] H. S. Strubbe, *Comp. Phys. Comm.*, **18** (1979), 1.
- [23] R. D. Jenke, *ACM-SIGSAM Bulletin*, **8-2** (1974), 16.
- [24] A. C. Hearn (Ed.), *REDUCE Newsletters*, No. 1—6.
- [25] 陈东岳，符号处理语言 FCY 文本，电子计算机参考

- 资料, (1978), 2.
- [26] 陆启铿、陈东岳, 计算机学报, No. 3 (1980), 193—201.
- [27] Chen Dongyue (陈东岳), *ACM-SIGSAM Bulletin*, **17-2**, (1983), 26—27.
- [28] D. R. Stoutemyer, *Amer. J. Phys.*, **49** (1981), 85.